

从铀精矿渣中回收镤-231

金绮珍 陈桦川 任守恭 张国维 岑运骅
刘永良 张惠龙 黄崇元 刘桂兰

(北京铀矿选冶研究所)

本文对从铀精矿渣中回收镤-231的方法进行了研究，提出的工艺流程是用2N HF溶液从精矿渣中浸出镤，经过用苯基磷酸-2-乙基己基酯-三烷基氧膦-二甲苯和三脂肪胺-混合醇-磺化煤油进行三次萃取，然后通过 201×7 大孔阴离子树脂柱进行离子交换色层分离，将镤浓集和纯化，最后得到合格产品(Zr , Nb 和 Ti 等杂质总量 <10 毫克/升)。本流程工序少、浓缩倍数高(3.75×10^6 倍)，回收率高达76%，作业连续、紧凑、易于操作。

引 言

镤-231是半衰期最长的镤同位素。它是铀-235的放射性衰变子体，存在于含铀矿石中。高品位的含铀矿石是提取镤的重要原料。迄今为止，从铀矿处理过程的废物中，已回收了一百多克镤-231。N. Jackson 和 D. A. Collins 等人^[1-3]发表了从 Springfields 铀精炼厂的废渣“乙醚泥”中回收和纯化镤-231的方法。“乙醚泥”是处理沥青铀矿时，乙醚萃取过程产生的固体废物，它含有的镤为矿石含镤总量的25%。用4N HNO_3 -0.5N HF从“乙醚泥”中浸出镤和铀，然后用20% TBP-煤油溶液从浸出液中萃取铀。于萃余水相中加入三氯化铝，将镤定量地沉淀。沉淀物用氢氧化钠处理，除去磷酸盐，用7N HCl -0.05N HF溶解。用二异丁基酮从溶解液中萃取镤，最后通过 Deacidite FF 阴离子交换树脂柱进行色层分离纯化，得到合格产品。用此流程从“乙醚泥”中提取镤的回收率为62.9%，即只回收到矿石含镤总量的15.8%。V. B. Shevchenko 等^[4]报道过从沥青铀矿石综合回收铀、镤、钍-230和镤-231等天然放射性同位素的流程。矿石在用硝酸浸出时，约有50—55%镤转入浸出液。用10%的TBP-煤油溶液萃取铀后，以硫酸钡-镤形式沉淀镤。经过滤，用15%的一异戊基和二异戊基磷酸酯的异戊基乙酸酯溶液从沉淀母液中萃取钍-230和镤-231，用碳酸铵溶液反萃取钍-230和镤-231。在反萃取水相中加入 F^- 使钍-230沉淀和镤-231分离，然后经过离子交换色层分离纯化，得到纯度合格的镤-231。此流程的镤回收率不到40%。上述这些流程都采用沉淀载带法分离、浓集镤，工序较多，而且回收率低。

用40% HNO_3 从铀精矿浸出铀、镤和钍-230时，59.7%的镤-231进入硝酸浸出液^[5,6]。若在浸出时加 F^- ，可以提高镤-231的浸出率。但大量 F^- 的存在，对铀和钍的提取工艺有影

1979年10月25日收到。本文曾于1979年9月核化学与放射化学论文报告会上报告。

响。而且当以硫酸铅-镭形式沉淀镭时，浸出液中37%的镤-231又和镭一起沉淀^[7]。镤分散在矿渣、硫酸铅-镭浓集物和沉淀母液中，使得镤-231的回收流程更加复杂。我们为了充分利用铀矿资源，在考虑综合回收铀、镭、钍-230和镤-231流程时，力图尽可能简便地多回收镤-231，在硝酸浸出时，加入少量铝盐，把镤-231“固定”在渣中，然后用2N HF溶液从精矿渣中浸出镤。经过用苯基磷酸-2-乙基己基酯-三烷基氧膦-二甲苯和三脂肪胺-混合醇-碘化煤油进行三次萃取，以及通过201×7大孔阴离子树脂柱进行离子交换色层分离，将镤浓集和纯化，得到合格产品。本流程工序较少，容易操作，而且回收率高达76%。

实验部分

1. 设备、试剂和原料

浸出槽用聚氯乙烯制成。混合澄清器和离子交换柱用有机玻璃制成。所有含镤溶液均盛在聚乙烯容器内。

除浸出时使用工业硝酸及工业氢氟酸外，其它试剂均系分析纯，北京化工厂产品。

苯基磷酸-2-乙基己基酯、三烷基氧膦、三脂肪胺等萃取剂和201×7大孔阴离子交换树脂均系北京铀矿选冶研究所产品。

提镤原料为重选得到的铀精矿，主要含铀矿物为沥青铀矿，其化学成份见表1。

表1 铀精矿的主要化学成份

组 成	^{231}Pa	U	SiO_2	Fe	Al	Ca	F	SO_4^{2-}	PO_4^{3-}
含量，%	8.65×10^{-8} 克/克	27.64	50.30	2.23	2.15	3.07	0.56	0.64	0.13

2. 实验方法

浸出、第一次及第二次萃取是采用铀精矿为原料进行试验；第三次萃取及离子交换色层分离则用人工配制溶液。

(1) 浸出 称取50克铀精矿渣(或铀精矿)置于浸出槽中，按一定固液比加入HF(或HNO₃)，调节马达转速，搅拌一段时间。过滤、洗涤后，将第一次洗水与滤液合并。记下浸出液体积及干渣重量。分析溶液及渣中镤(或铀、镭)含量，计算浸出率。

(2) 萃取 取一定相比的原始水相和有机相置有机玻璃容器中，搅拌一段时间后静置分相，分别测定原始水相、萃余水相和有机相中镤和其他元素的含量；或经洗涤及反萃取后，测定洗涤液、反萃取水相和有机相中镤和其他元素的含量。

(3) 离子交换色层分离 将已转至Cl⁻型的100—200目201×7大孔阴离子交换树脂装在Φ10×250毫米的有机玻璃柱中，树脂床高180毫米。调节溶液酸度和铝-氟比(Al/F)后，控制通过离子交换柱流速。收集吸附流出液，测定镤和其他元素的含量。然后用淋洗剂淋洗柱子，每5毫升收集一个样品，测定镤和其他元素的含量。

结 果 和 讨 论

1. 镥 的 浸 出

在用 40% HNO₃ 从铀精矿中浸出铀、镭和钍时，59.7% 的 ²³¹Pa 进入硝酸浸出液中。加入一定量 Al(NO₃)₃，由于 Al³⁺ 与 F⁻ 生成稳定的络离子，减少了浸出液中 F⁻ 的浓度，防止大量 ²³¹Pa 因形成 PaF₇²⁻ 而被浸出。取 50 克铀精矿，加入不同量的铝盐后，按文献[5] 确定的条件，用 40% HNO₃、固液比 1:1、50°C 时浸出。得到的结果列入表 2。

表 2 铝盐加入量对镤浸出率的影响
搅拌速度 600 转/分；反应时间 30 分。

Al(NO ₃) ₃ 加入量, Al/F 重量比	²³¹ Pa 浸出率, %
0	59.7
1	57.2
2	15.6
3	14.5
4	12.4
5	25.5

由表 2 可见，在硝酸浸出时加入铝盐至 Al/F 为 2—4，可使 80% 以上的 ²³¹Pa 留在渣中。铝盐加入量多，矿浆过滤速度慢；当 Al/F=2 时，加 1% 聚醚助滤，过滤速度与未加铝盐时相近。

硝酸浸出后的精矿渣，含铀 0.125%、²³¹Pa 1.47×10^{-7} 克/克。其它化学成份的分析结果列入表 3 中。

表 3 硝酸浸出后精矿渣的化学组成

组 成	含 量 , %	组 成	含 量 , %	组 成	含 量 , %
As	0.05	SiO ₂	>50	Na ₂ O	0.3
Sb	0.03	Al ₂ O ₃	~ 1	W	0.01
Mo	0.003	MgO	0.1	Cr	0.003
Pb	0.1	CaO	0.1	Be	0.001
Zn	0.01	Fe ₂ O ₃	~ 2	B	0.001
Cu	0.001	Mn	0.03	Zr	0.001
Ni	0.003	Ti	0.1	V	0.003

曾详细研究过用 HF 溶液从精矿渣中浸出镤的条件。由表 4—7 的数据可见，用 2N HF、固液比 1:4、在 15°C 下搅拌（速度 300—500 转/分）、浸出精矿渣时间为 2.5 小时时，²³¹Pa 的浸出率在 95% 以上^[8]。HF 浓度高于 2.0 N 以上，F、SiO₂ 和 Fe 等杂质含量增高，不利于后续工序。采用上述条件进行浸出，得到浸出液的主要化学成分见表 8。

表4 HF 浓度对²³¹Pa 浸出率的影响

HF 浓 度, N	²³¹ Pa 浸出率, %	主要杂质浓度, 克/升		
		F	SiO ₂	Fe
0.5	48.5	8.6	4.33	0.198
1.0	67.5	18.6	8.90	0.265
1.5	85.5	23.3	12.75	0.418
2.0	~100	39.3	16.30	0.439
2.5	~100	46.0	18.80	0.594
3.0	~100	59.7	23.0	1.150

表5 固液比对²³¹Pa 浸出率的影响

固液比	1:1	1:2	1:3	1:4	1:5	1:6
²³¹ Pa 浸出率, %	49.5	68.5	85.0	97.5	~100	~100

表6 温度对²³¹Pa 浸出率的影响

温 度, °C	5	15	25	30	50
²³¹ Pa 浸出率, %	92.8	97.2	~100	~100	~100

表7 反应时间对²³¹Pa 浸出率的影响

反应时间, 分	20	40	60	90	120	150	180
²³¹ Pa 浸出率, %	71.0	84.4	94.5	96.0	99.5	~100	~100

表8 HF 浸出液的主要化学成份

组 成	²³¹ Pa	U	F	SiO ₂	Fe	Zr	H ⁺
浓度, 克/升	3.12×10^{-6}	0.39	39.75	16.60	1.75	0.03	1.93*

* H⁺ 浓度单位为 N

2. 苯基磷酸-2-乙基己基酯-三烷基氧膦-二甲苯萃取浓集镤

由表8看到, HF 浸出液含有大量氟和硅。常见的磷类萃取剂(磷酸三丁酯、三烷基氧膦等)在此体系中对镤的萃取率很低, 而使用胺类萃取剂进行萃取时发生乳化。二异丁基酮和二异丁基醇等是镤特效的萃取剂, 在此体系中对镤的萃取率也仅为7.2%和5.3%。我们发现, 苯基磷酸-2-乙基己基酯(BEHP)-二甲苯能从HF浸出液中萃取镤和铀, 并不出现乳化现象。用1N HF溶液能从含镤有机相反萃取镤; 但当用碳酸铵溶液反萃取铀时出现第三相。若在有机相中加入适量三烷基氧膦(TRPO)作为添加剂, 在反萃取时不再生成第三相。由图

1及2可见，在相比1:1时，有机相中TRPO含量变化对镁萃取率影响甚小；而当相比拉大时，有机相中BEHP和TRPO的含量及比例对镁萃取率影响较大。当有机相中BEHP的体积比为10%及20%时，TRPO含量增加，镁萃取率明显下降，用碳酸铵反萃取铀时有第三相出现；BEHP为30%时，TRPO含量增加，镁萃取率缓慢下降，碳酸铵反萃取铀时无第三相。有机相组成为BEHP:TRPO:二甲苯=3:1:6(体积比)，不仅从HF浸出液中萃取镁和铀的萃取率高，反萃取铀时不出现第三相，而且无论在萃取或反萃取时相分离的速度都很快。这种组成的有机相，简称有机相316。

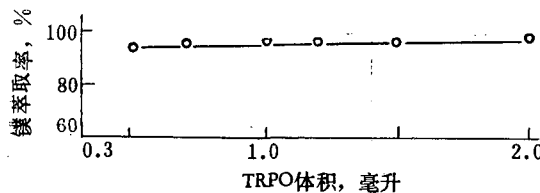


图1 相比为1:1时，有机相中TRPO含量与镁萃取率的关系

水相为HF浸出液；10毫升有机相中含BEHP3毫升。

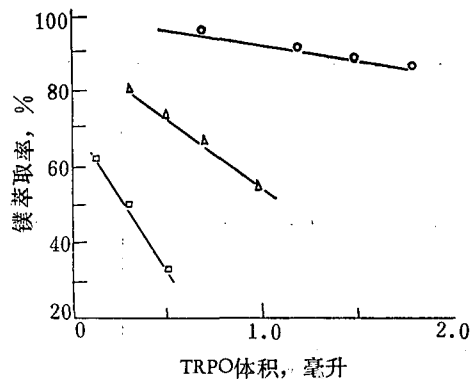


图2 相比为1:20时，有机相中TRPO含量与镁萃取率的关系

水相为HF浸出液；10毫升有机相中含BEHP：
○—3毫升；△—2毫升；□—1毫升。

若水溶液中含有F⁻，由于生成PaF₇²⁻稳定络离子而使镁萃取率降低。在浸出过程中，HF与SiO₂作用形成稳定的络离子SiF₆²⁻，浸出液中F⁻浓度很低，故用有机相316萃取镁的效率很高。而有机相中的镁又极易用1N HF反萃取。在浸出液中再加入少量HF，然后用有机相316进行萃取，所得结果如图3所示，镁萃取率随加进浸出液中的HF浓度增高而急剧下降。在浸出液中再加入一定量SiO₂、Fe³⁺、Al³⁺和UO₂²⁺，观察浸出液中杂质含量对镁萃取率的影响。由表9数据可见，浸出液中Fe³⁺和UO₂²⁺浓度太高时，镁的萃取率降低。

在相比=1:10时，萃取平衡时间35分，静置分相时间10分，用有机相316对HF浸出液进行三段逆流萃取，²³¹Pa和U的萃取率分别为98.9%和99.7%。用1N HF从有机相中反萃取镁，相比=10:1，反萃取时间10分，静置分相时间10分，四段逆流反萃取，²³¹Pa的反萃取率达99.4%。此时，尚有90%的U留在有机相中(浓度达3—4克/升)，需用250—270克/升(NH₄)₂CO₃溶液于相比1:1时反萃取铀。除铀后的有机相316用4N H₂SO₄酸化后循环使用。表10给出1N HF反萃取水相的化学组成。

3. 三脂肪胺-混合醇-碘化煤油萃取纯化镁

镁在HF溶液中以PaF₇²⁻络离子形式存在，它可用三月桂胺^[9]、三十二烷胺^[10]或三辛胺^[11]等离子缔合型萃取剂萃取。我们对一些萃取剂从1N HF反萃取水相(化学组成见表10)中萃取镁的

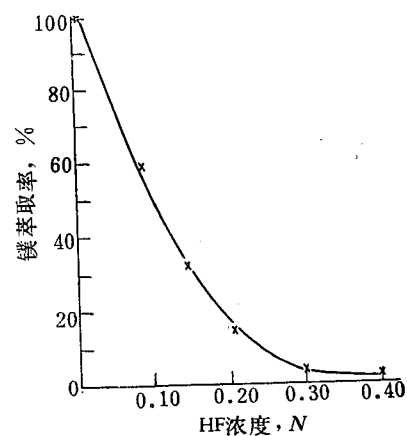


图3 过量HF对萃取镁的影响
相比=1:10；萃取平衡时间35分；静置分相时间10分。

表9 浸出液中杂质含量对镁萃取率的影响

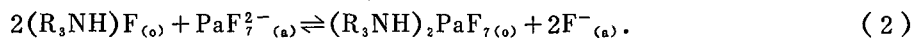
杂质	加入量, 克/升	镁萃取率, %
SiO_2	0.1	97.1
	0.5	97.7
	1.0	96.6
	1.5	99.6
Fe^{3+}	0.5	98.1
	1.0	95.5
	2.0	94.6
	3.0	87.2
Al^{3+}	0.1	97.3
	0.5	97.7
	1.0	~100
UO_2^{2+}	0.4	84.8
	0.8	79.9
	5.0	74.4

表10 1N HF 反萃取水相的化学组成

元素	浓度, 克/升	元素	浓度, 克/升	元素	浓度, 克/升
Pa	2.8×10^{-4}	F	16.3	Nb	>0.04
U	0.04	Mn	0.004	Ca	>0.04
Zr	3.53	W	0.008	Ta	微量
Ti	0.18	Hf	>0.04	Th	微量
Fe	0.022	Al	>0.04		
Si	1.1	Mo	>0.004		

性能进行比较, 发现三脂肪胺对镁的萃取率高(见表11)。加入混合醇为添加剂, 可以防止萃取时出现第三相。当有机相组成为三脂肪胺: 混合醇: 碘化煤油=2:2:6(体积比)时, 镁的萃取率高, 萃取时不出现第三相, 而且相分离速度快^[8]。这种组成的有机相, 简称有机相226。

曾研究过三脂肪胺浓度与镁和HF分配系数的关系。由图4得出, 用三脂肪胺萃取时, 萃取HF的斜率为1.13, 萃取镁的斜率为1.81, 故可认为三脂肪胺萃取镁的反应为:



用有机相226从第一次萃取的1N HF反萃取水相(化学组成见表10)中萃取镁, 当相比=1:10, 平衡时间5分钟, 静置分相时间5分钟时, 三段逆流萃取镁的萃取率为99%。原始水相中HF浓度增高时, 由于萃取竞争会使镁的萃取率降低(图5)。在HF体系中, Si, Zr, Nb和Ti等元素也为三脂肪胺萃取(图6)。因此, 在反萃取镁之前, 应尽可能将它们从有机相中洗除。

表11 几种萃取剂从1N HF 反萃取水相中萃取镁的比较

萃取剂	浓度	稀释剂	相比	镁萃取率, %	备注
三烷基氧膦	0.2M	煤油	1:1	0	
三脂肪胺	20%	煤油	1:1	98	有第三相
三脂肪胺	20%	二甲苯	1:1	100	
三异辛胺	10%	煤油	1:1	4	
N-十二苄胺	0.1M	二甲苯	1:1	86.5	乳化
季胺	0.4M	二甲苯	1:1	74.5	

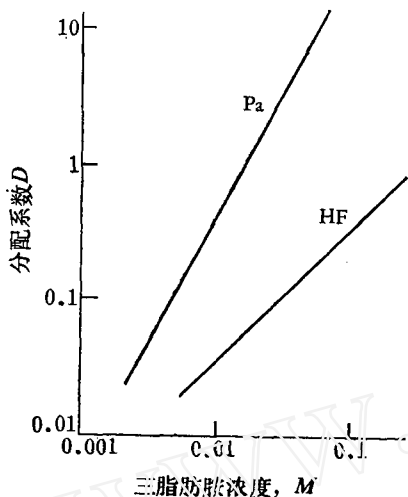


图4 三脂肪胺浓度与Pa和HF萃取分配系数的关系^[8]

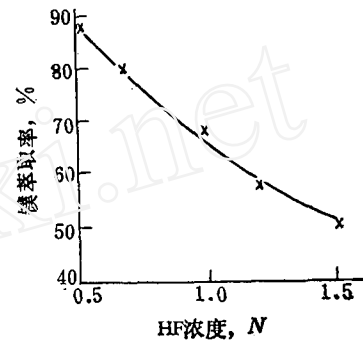


图5 HF浓度对镁萃取率的影响

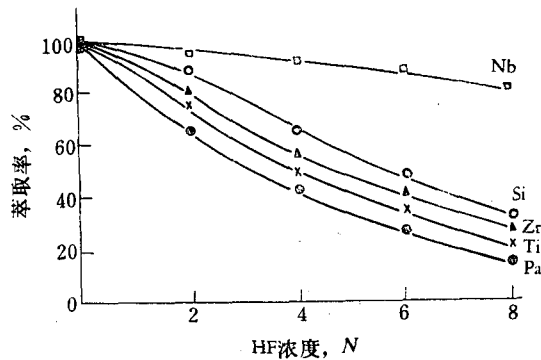


图6 用有机相226从HF溶液中萃取Pa, Nb, Si, Zr和Ti
水相为含²³¹Pa 2.8×10^{-7} 克/升、Zr 3克/升、Ti 0.2克/升、
Nb 0.1克/升的HF溶液。

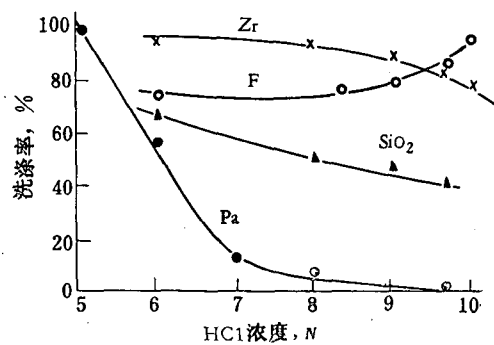


图7 盐酸浓度对洗涤效率的影响
相比 = 1:1; H₃BO₃浓度0.5%。

在盐酸体系中，Pa 和 Zr 的分配系数相差较大。在适当的酸度下萃取，极易使它们分离。SiF₆²⁻络离子在 HCl 介质中不稳定；如在溶液中加进少量硼，将加剧 SiF₆²⁻的离解。在用有机相226从1N HF 反萃取水相中萃取镁后，用 HCl-H₃BO₃ 混合酸洗涤有机相，能洗掉和镁一起被萃取的绝大部分硅、氟和锆（见图7, 8）。萃取分相后，用相比 1:1 的 9.6N HCl-0.5% H₃BO₃ 洗涤有机相三次，再于相比 1:1 时用 2N HCl-0.06N HF 反萃取镁。得到的反萃取水相的化学组成见表12。

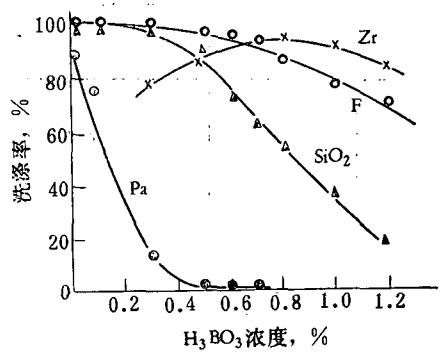


图8 硼酸浓度对洗涤效率的影响
相比=1:1；HCl浓度9.6N。

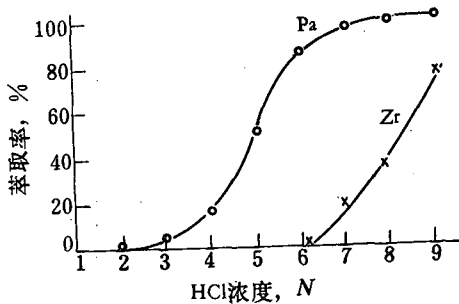


图9 Pa 和 Zr 的萃取率与 HCl 浓度的关系^[12]

表12 2N HCl-0.06N HF 反萃取水相的化学组成^[12]

组 成	浓 度, 毫克/升	组 成	浓 度, 毫克/升	组 成	浓 度, 毫克/升
ZrO ₂	45	Cd	<0.06	Cr	<0.6
TiO ₂	115	Ni	<4.0	V	<0.6
Nb ₂ O ₅	10	Cu	<4.	W	<10
U	3.6	B	>0.5	Mg	<16
²³¹ Pa	2.4	Fe	<3	Mo	<0.6
SiO ₂	28	Mn	<0.3	Na	<3
		Al	<0.3	K	<1.5

经过第二次萃取分离，Si 和 Zr 的含量降低了400—800倍。但在2N HCl-0.06N HF 反萃取水相中，Zr, Ti 和 Nb 的含量仍比²³¹Pa 多。我们按表12的化学组成配制溶液，研究Zr, Ti, Nb 和 Pa 的分离条件。由图9可见，盐酸浓度在7—8N时，Pa 的萃取率较高，而且 Pa 和 Zr 的萃取率之间相差较大。将第二次反萃取水相蒸浓，酸度调至8N HCl。在每100毫升上述溶液中加入3毫升5% H₃BO₃溶液，按相比=1:15，用有机相226进行第三次萃取，绝大部分Nb 和 Pa 被萃取至有机相，而Zr 和 Ti 基本上不被萃取（表13）。萃取后的有机相用7N HCl-6% H₂C₂O₄溶液洗涤两次，再用7N HCl洗涤一次，然后用2N HCl-0.06 N HF 溶液，在相比=5:1时反萃取镤。反萃取水相中含 ZrO₂<30毫克/升，Nb₂O₅ 26.2毫克/升，TiO₂ 4毫克/升^[13]。

表13 Zr, Nb, Ti 和 Pa 的萃取分离^[13]

组 成	ZrO ₂	Nb ₂ O ₅	TiO ₂	²³¹ Pa
萃取原液，毫克/升	65.5	83.2	34	2.4
萃余水相，毫克/升	64	<5	34	0.01

4. 镑的阴离子交换色层分离纯化

阴离子交换色层分离是常用的纯化镤的方法。K. A. Kraus 等^[14]用 Dowex-1 阴离子交换树脂从 9N HCl 溶液中吸附 Pa, Nb, Ta 和 Zr, 先以 9N HCl-0.004N HF 溶液淋洗 Zr 和 Pa, 然后用 9N HCl-0.18N HF 溶液和 4M NH₄Cl-1N HF 溶液分别淋洗 Nb 和 Ta。并且指出, 溶液中有 F⁻存在时, Pa 在阴离子交换树脂上的吸附量急剧降低。当 F⁻浓度为 4×10^{-3} M 时, Pa 吸附量比无 F⁻时下降 100 倍^[15]。加入 AlCl₃ 或 H₃BO₃, 与溶液中的 F⁻络合, 可使 Pa 定量地被吸附。

我们将第三次萃取的 2N HCl-0.06N HF 反萃取水相酸度调至 8N HCl, 加入铝粉至 Al/F 为 10。取 500 毫升吸附原液以 0.7—1.0 毫升/分·厘米²的流速通过装有 5 毫升 100—200 目 Cl⁻型 201×7 大孔阴离子交换树脂柱, 然后用 20 毫升 8N HCl-2% H₂C₂O₄ 溶液淋洗 Nb, 10 毫升 8N HCl 洗涤, 再用 2N HCl-0.06N HF 淋洗 Pa。镤被收集于 10 毫升淋洗液中^[16]。由表 14 数据可见, 经过 201×7 大孔阴离子交换树脂柱进行离子交换色层分离, 可以将 Pa 与 Zr, Nb 和 Ti 完全分离。

表 14 在离子交换过程中几种元素的分配情况

溶 液	体 积, 毫 升	ZrO ₂ , 毫 克/升	Nb ₂ O ₅ , 毫 克/升	TiO ₂ , 毫 克/升	²³¹ Pa, %
原 液	500	36.6	11.5	9.2	100
吸 附 流 出 液	500	35.6	0.2	9.1	<0.5
洗 锶 液	30	7.0	184	1.5	<0.1
淋 镔 液	10	2.5	<2.5	<1.5	~100

经过第三次萃取和离子交换色层分离之后, 镔又浓集了 3750 倍。产品淋洗液中镤的浓度达到 9 克/升; 而 Zr, Nb 和 Ti 等杂质的总量不到 10 毫克/升。

应该着重指出, 第三次萃取和离子交换色层分离这两个步骤都可以反复循环地进行。如果产品纯度尚未达到要求, 只需加铝粉至溶液中将 F⁻络合, 调节酸度后就可再进行萃取或离子交换色层分离, 直至得到合格产品。

结 论

对从铀精矿渣中回收²³¹Pa 的方法进行了研究, 提出 HF 浸出、三次萃取和阴离子交换色层分离的流程(图 10)。

在研究过程中发现, 苯基磷酸-2-乙基己基酯-三烷基氧膦-二甲苯能从含高氟、高硅的 HF 体系中有效地萃取镤, 解决了用别的萃取剂萃取时发生乳化的难题。

本流程工序较少、浓缩倍数(3.75×10^6 倍)和回收率(76%)高, 避免了繁杂的沉淀、过滤等操作, 作业连续、紧凑。

参加部份实验工作的尚有王顺昌、王景津、周志发、李芬、刘栓末、张麟呈、马贵利、尹连祥等同志。朱长恩、姚庆山等同志提供各种新合成的萃取剂; 毛玉婷、金关莲等同志承担²³¹Pa 的分析; 刘虎生、夏开兰等同志承担样品光谱分析; 有关分析组的同志承担了样品的化学分析。在此一并致谢。

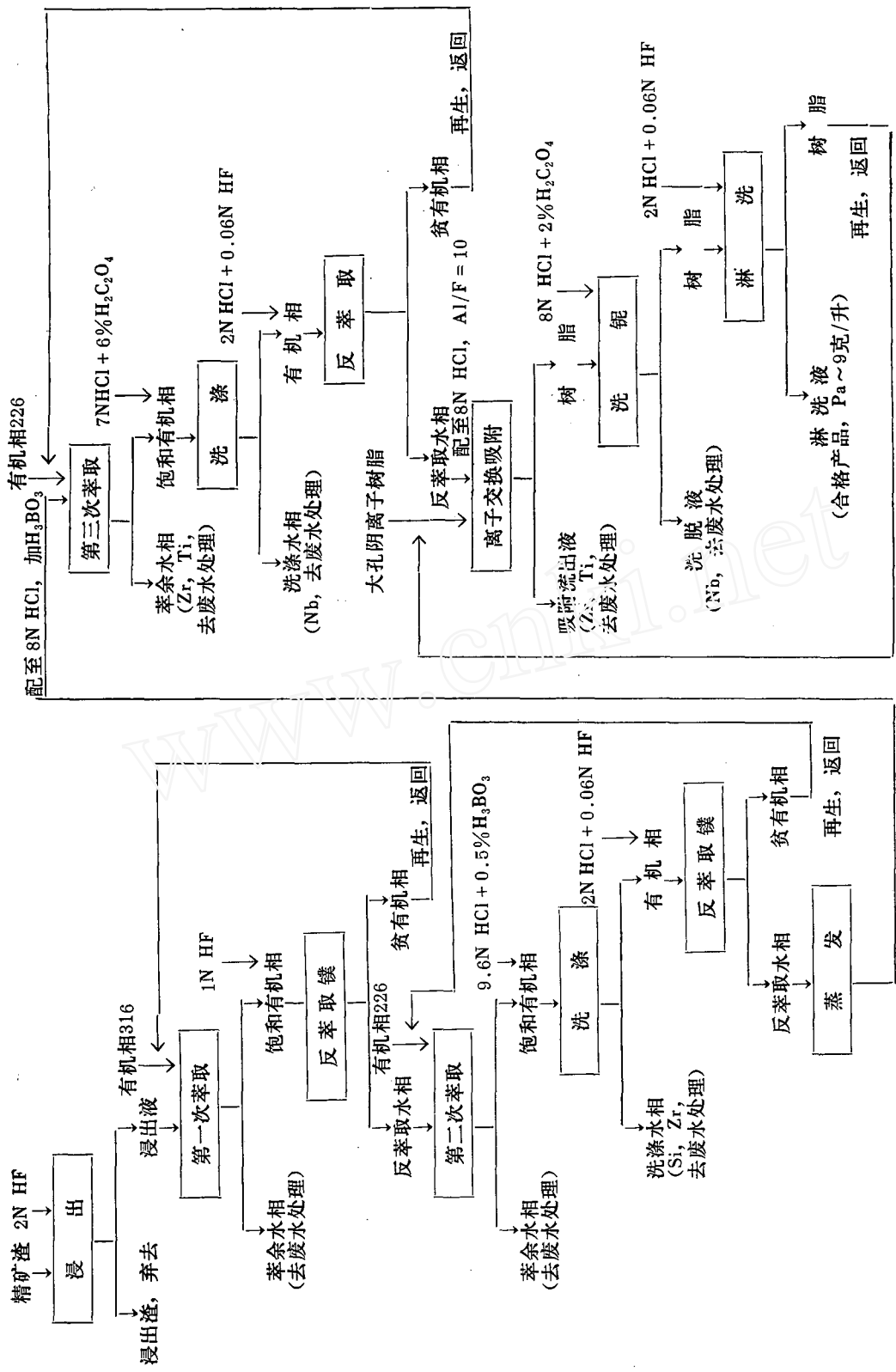


图10 从铀精矿渣中回收镁-231流程图

参 考 文 献

- [1] N. Jackson et al., AERE-R-3311(1960).
- [2] N. Jackson et al., AERE-R-3377(1960).
- [3] D. A. Collins et al., J. Inorg. Nucl. Chem., 24, 441(1962).
- [4] V. B. Shevchenko et al., Progr. Nucl. Ener., Ser. III, Vol. 3, P. 52, Pergamon Press Ltd., London, 1961.
- [5] 李铭生等, 从铀精矿中提取镭的工艺流程研究, 北京铀矿选冶研究所内部资料(1969).
- [6] 北京铀矿选冶研究所, 从铀精矿中综合回收铀、镭、钍-230和镤-231的研究, 待发表
- [7] 岑运骅等, 用铅为载体从铀精矿中提取镭, 待发表。
- [8] 张国维等, 从精铀矿渣中提取和浓集镤-231工艺流程报告, 北京铀矿选冶研究所内部资料。(1975).
- [9] P. Guillot, Collog. Intern. Centre Natl. Rech. Sci., № 154, 239(1966).
- [10] A. Alian et al., Microchem. J., 12, 418(1967).
- [11] E. C. Пальшин и др., ЖАХ, 25, 924(1970).
- [12] 岑运骅等, 用三脂肪胺萃取分离和浓集镤流程的改进研究, 北京铀矿选冶研究所内部资料(1975).
- [13] 金绮珍等, 镆和锆、铌、钛分离方法的研究, 北京铀矿选冶研究所内部资料(1975).
- [14] K. A. Kraus et al., J. Am. Chem. Soc., 73, 2900(1951).
- [15] K. A. Kraus et al., J. Am. Chem. Soc., 78, 2692(1956).
- [16] 金绮珍等, 用离子交换色层分离法精制镤, 北京铀矿选冶研究所内部资料(1975).

THE RECOVERY OF PROTACTINIUM-231 FROM URANIUM ORE CONCENTRATE RESIDUE

JIN QIZHEN CHEN HUACHUAN REN SHOUGOUG ZHANG GUOWEI
CEN YUNHUA LIU YONGLIANG ZHANG HUILoug
HUANG CHONGYUAN LIU GUILAN

(The Beijing Research Institute of Uranium Mineral Processing)

ABSTRACT

It has been shown that over 80% of the protactinium-231 remained in the residue, when the uranium ore concentrate was treated by 40% nitric acid with the addition of aluminium with $\text{Al}/\text{F}=2-4$. The content of ^{231}Pa is $1.47 \times 10^{-7}\text{g}$ per gram residue.

A Process for the recovery of ^{231}Pa from this residue with high yield is developed. It consists of the following stages:

1. Leaching ^{231}Pa from the residue with 2N HF.
2. Extracting ^{231}Pa from leaching liquor with phenyl (2-ethylhexyl) phosphonate-trialkylphosphine oxide-xylene (organic phase I) and stripping it from the extractant with 1N HF.

3. Extracting ^{231}Pa from the first resultant aqueous phase with trialiphatic amine-mixed alcohol-kerosene (organic phase II), washing the organic phase obtained with 9.6N HCl-0.5% H_3BO_3 and stripping ^{231}Pa from the organic phase with 2N HCl-0.06N HF.

4. Adjusting the acidity of the second resultant aqueous phase to 8N HCl, adding H_3BO_3 to complex F^- and extracting ^{231}Pa by organic phase II.

5. Washing organic phase with 7N HCl-6% $\text{H}_2\text{C}_2\text{O}_4$ solution and re-extracting ^{231}Pa from the extractant by 2N HCl-0.06N HF.

6. Purifying ^{231}Pa by chromatographic method at the final stages; adjusting the acidity of the third resultant aqueous phase to 8N HCl, adding aluminium on the Al/F=10 and then passing the solution through a column filled with 100-200 mesh 201×7 macroreticular anion exchange resin in the Cl^- form. ^{231}Pa and Nb are absorbed on the resin, Zr and Ti are not retained. Nb is eluted with 8N HCl-2% $\text{H}_2\text{C}_2\text{O}_4$, ^{231}Pa —with 2N HCl-0.06N HF.

High purity of the protactinium fraction is obtained with the present procedure. The content of ^{231}Pa in the eluate is 9 g/l, the total concentration of Zr, Nb and Ti is less than 1×10^{-2} g/l.

(上接封三, Continued from inside back cover)

Niu Chunji, Yu Decai, Yang Fu, Na Quanming, Tian Xing, Chang Shugong, Fan Gueizhi

A Simple and Convenient Gradient-Elution Set-Up and its Application in the Separation of Rare Earth Elements 2 (2) 116 (1980).

Wang Wenqing, Xu Guangxian

A New Method for the Determination of pK_{2aE} , pK_{aE} and K_2 of Di-2-Ethyl-Hexylphosphoric Acid

between Benzene and Water 2 (4) 248 (1980)

Glenn T. Seaborg

The Periodic Table, Tortuous Path to Man-made Elements 2 (1) 57 (1980)

The Editorial Board

Thirty Years in Retrospect—Celebrating the birth of JNRC 1 (1) 1 (1979)

消息 9月12日至18日，中国核学会核化工分会在杭州举行了成立大会和论文报告会，出席大会的有厂矿、科研设计机构和高等院校共28个单位、110名代表。二机部付部长姜圣阶在大会上做了重要报告，阐述了我国核化工方面的成就、差距、存在的问题和努力方向，对与会代表鼓舞启发很大。会议上宣读了论文48篇，反映了我国近年来在转换工艺、元件制备、萃取设备、计算机应用和数学模拟以及三废处理和综合利用方面的科学技术新成就，其中一部分将在本杂志上陆续发表。会议通过无记名投票选出理事40人。本杂志付主编曹本熹当选为理事长。在当选的付理事长中，还有本杂志的主编汪德熙和付主编吴征铠、汪家鼎。